

Dy - As

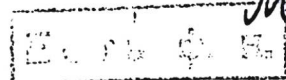
ScAs, YAs, LaAs, CeAs, PrAs, NdAs, SmAs, 1967  
GdAs, TbAs, DyAs, HoAs, ErAs, TmAs, YbAs,  
LuAs (off) As (off) 8 VIII 95

Hanks R., Faraday M.M.

Trans. Faraday Soc., 1967, 63, NS, 1130-1135 (and)  
Quantitative application of dynamic differen-  
tial calorimetry. Part 2. Heats of formation of  
the group 3A arsenides

Pittman, 1968

165804



M

(P)

18

DyVO<sub>4</sub>, DyAsO<sub>4</sub> (Tz) 8 viii 5362 1971

D'Ambrogio F., Brüesch P., Kalbfleisch H.

"Proc. 2nd Int. Conf. Light Scatter. Solids,  
Paris, 1971," Paris 1971, 363-366 (ann.)

Raman scattering and study of phase  
transitions in DyVO<sub>4</sub> and DyAsO<sub>4</sub>.

PLK/KS, 1973

115382

○

5956

DyAsO<sub>4</sub>

ВФ-5035-VIII

1971

№ 23 Б876. Загадка фазового превращения в DyAsO<sub>4</sub>.  
Brüesch P., Kalbfleisch H. The puzzle of a phase  
transition in DyAsO<sub>4</sub>. «Phys. status solidi (b)», 1971, 45,  
№ 2, K103—K104 (англ.)

T<sub>tr</sub>

Исследование термич. и магнитных св-в DyAsO<sub>4</sub> (I), показывает, что I имеет две  $\lambda$ -образные аномалии уд. теплоемкости при  $T_N = 2,43^\circ\text{K}$  и  $11,17^\circ\text{K}$ . Измерения магнитной восприимчивости и намагничивания объясняют структуру I ниже  $T_N$ , подобную той, что наблюдалась в DyVO<sub>4</sub> (II). Снят КР-спектр I при различных т-рах выше и ниже т-ры превращения. КР-спектры I и II подобны; наблюдались лишь небольшие изменения в частотах. Не наблюдалось разветвление вырожденных.



X·1971.23



линий фонойа при измении температуры ниже  $T_N = 11,17^\circ\text{K}$ .  
Проведено охлаждение кристаллов в магнитном поле,  
перпендикулярном кристаллографич. осям и охлаждение  
в нулевом поле. В обоих случаях самой низкой температурой бы-  
ла  $1,6^\circ\text{K}$ . Предположено, что наблюдаемые явления свя-  
заны с понижением симметрии I подобно тому, как это  
дмеет место для II.

Л. И. Ройтштейн

DyVO<sub>4</sub>; Dy<sub>2</sub>SiO<sub>5</sub>; T<sub>6</sub>VO<sub>4</sub>(T<sub>4</sub>) VIII-52g 1971

Hareley R.T., Hayes W., Smith S.R.P.,  
Proc. Int. Conf. Light Scattering  
Solids, 2nd, 1971, 357 - 63 (aniso.)

Raman studies of Jahn-Teller  
induced phase transitions  
in rare earth compounds.

5 (P)

X

CA, 1973, 78, N2, 9792c

DyAsO<sub>4</sub>

VIII-4451

1971

~~132354~~ Magnetic properties of dysprosium arsenate at low temperatures. Kahle, Heinz G.; Klein, Lothar; Mueller-Vogt, German; Schopper, Heinrich C. (Phys. Inst., Univ. Karlsruhe, Karlsruhe, Ger.). *Phys. Status Solidi B* 1971, 44(2), 619-26 (Eng). The magnetic properties of DyAsO<sub>4</sub> were investigated by sp. heat and magnetic moment measurements. The sp. heat shows 2  $\lambda$ -type anomalies, 1 at  $T_N = 2.44^\circ\text{K}$  caused by a magnetic phase transition, and the other at  $T_c = 11.2^\circ\text{K}$ . Magnetic measurements show an antiferromagnetic ordering perpendicular to the optical axis with magnetically nonequiv.  $a$ - and  $a'$ -axes. Exchange integral and crit. parameters were detd. in different ways and compared with theory. The splitting of the 2 lowest components (Kramers' doublets) which is const. above  $T_c$  becomes temp. dependent below  $T_c$ ; it increases with decreasing temp. and originates from a cooperative phenomenon. RCPR

Cp,

Tc

C.A. 1971. 44.24

VIII-5432

1829

DyAsO<sub>4</sub>

13 Б434. Нейtronографическое изучение антиферромагнитного DyAsO<sub>4</sub>. Schäfer W., Will G. Neutron diffraction study of antiferromagnetic DyAsO<sub>4</sub>. «J. Phys. C: Solid State Phys.», 1971, 4, № 18, 3224—3233 (англ.)

Нейtronографически (т-ра 293°, 4,2°, 2,2° К,  $\lambda$  0,97 Å) изучен DyAsO<sub>4</sub> (I). Параметры тетрагональной решетки:  $a$  7,060,  $c$  6,313 Å (при 293° К), ф. р.  $I4_1/AMD$ . Изотиопиан DyPO<sub>4</sub> и DyVO<sub>4</sub> и кристаллизуется в структурном типе циркона. Параметры O<sup>2-</sup>:  $x=0,178$ ,  $z=0,328$ . Межатомные расстояния и валентные углы: Dy—Dy 3,87, 5,91—5,92, Dy—O 2,33—2,42 Å, OAsO 99,6—115,3°, DyODy 109,0°. Магнитная ф. гр.  $P_{12}12_12_1$ . I испытывает нелинейное антиферромагнитное упорядоченное состояние при 2,5° К с наклоном магнитных моментов  $\Phi_b = 22^\circ$  относительно оси  $b$  в плоскости  $ab$ . Магнитный момент 8,6  $\mu_B$  при 2,2° К. Обсуждаются возможные кристаллографич. фазовые переходы.

Г. М. Кузьмичева

X.1972. 13

DyAsO<sub>4</sub>

VIII-5432

1971

65390; Neutron diffraction study of antiferromagnetic DyAsO<sub>4</sub>. Schaefer, W.; Will, G. (Mineral. Inst., Univ. Bonn, Bonn, Ger.). *J. Phys. C* 1971, 4(18), 3224-33 (Eng). The magnetic structure of DyAsO<sub>4</sub> was detd. by neutron diffraction on a powd. sample. DyAsO<sub>4</sub> undergoes a transition to a noncolinear antiferromagnetically ordered state at 2.5°K, with an inclination of the magnetic moments of  $\phi_b = 22^\circ$  relative to the *b* axis in the *ab* plane. The magnetic space group is *P*<sub>1</sub>2<sub>1</sub>2<sub>1</sub>2<sub>1</sub> (orthorhombic symmetry). The magnetic moment is 8.6  $\mu$ B at 2.2°K. The temp. behavior of the magnetization is that of an Ising magnet. The crystallographic parameters are detd. and possible crystallographic phase transitions are discussed.

(T, t<sub>2</sub>)

C.R. 1972. 46. 12

DyAsO<sub>4</sub>

XVIII-364

1971

DyVO<sub>4</sub>

(Ttr)

156002b Neutron- and x-ray diffraction study of the magnetic and crystallographic phase transitions in dysprosium vanadate and dysprosium arsenate. Will, G.; Schaefer, W.; Goebel, H. (Mineral. Inst., Univ. Bonn, Bonn, Ger.). *Conf. Dig. - Inst. Phys. (London)* 1971, 3 (Rare Earths Actinides, Short Pap. Conf.), 226-9 (Eng). Phase transitions and crystal symmetry were studied at 11.8°K and 13.8°K by x-ray powder diffraction of DyAsO<sub>4</sub> and DyVO<sub>4</sub>. For DyVO<sub>4</sub> a distinct splitting of the reflections (400)/(040) and (600)/(060) unambiguously indicate a tetragonal to orthorhombic transition which starts at 14°K and ends at ~8°K. The distortion is sym. with  $\delta a = -\delta b$ . The new cell parameters are:  $a$  7.148,  $b$  7.112, and  $c$  6.307 Å. No transition was obsd. in the x-ray diffraction patterns of DyAsO<sub>4</sub>. However previous magnetic structure data requires a lower symmetry and the following transformations are tentatively.

proposed  $I\ 4_1/\text{amd} \xrightarrow{11.8^\circ\text{K}} I\ mma \xrightarrow{2.8^\circ\text{K}} I\ 2_12_12_1$ .

C.A. 1975, 83 n18

+1

☒

DyAlSO<sub>4</sub>

Göbel H., Will G.

1972

spaz. nepex. |

"Int. J. Magn."

1972, 3, N<sup>t</sup>-3, 123-128.

(cui. DyVO<sub>4</sub>, I)

Дубовка 82 1973  
БР-5626-VII

Ананова А. Е.

(Tm) Серебренников В.В.

М. Невьянск. Железу

1973, 18, 2292 - 94

DyVO<sub>4</sub>, Dy<sub>2</sub>SiO<sub>5</sub> ( $T_{\text{cr}}$ )

8 1972

Göbel H., Wille G.

VII 5553

Phys. status solidi (b), 1972, 50, N1, 142-151  
(Review)

low temperature X-ray diffraction and  
phase transitions in DyVO<sub>4</sub> and Dy<sub>2</sub>SiO<sub>5</sub>.

PHYS., 1972

215460



0

5 P

VIII - 5765

1973

Dy AsO<sub>4</sub> · 2H<sub>2</sub>O и др. (Ти)

Аманова Л.Е., Серебренников В.В.,  
Ж. неорг. химии, 1973, 18, 1706-1708

Б

лес орн.

DyAsO<sub>4</sub>

BGP-6030-VIII

1974

) 14 Б580. Спектроскопическое исследование DyAsO<sub>4</sub>.  
Wappeler Dieter. Spektroskopische Untersuchungen  
an DyAsO<sub>4</sub>. «Phys. Condens. Matter», 1974, 17, № 2,  
113—123 (нем.; рез. англ.)

(Ttr) Из расплава выращены монокристаллы DyAsO<sub>4</sub> и (Dy, Er) AsO<sub>4</sub> с отношением Dy:Er = 100:1. В интервале 1,8—15° K и значениях напряженности магнитного поля от 0 до 20 кэ сняты оптич. спектры поглощения образцов. Выше  $T_D = 11,2^\circ K$ , отвечающей кристаллографич.

фазовому переходу DyAsO<sub>4</sub>, вызываемому кооперативным эффектом Яна-Теллера, найдены эксперим. (0,0;  $6,1 \pm 0,5$ ;  $97,0 \pm 5,0$ ;  $140,0 \pm 10,0$ ;  $243,0 \pm 10,0$ ) и вычислены теор. (0,0; 6,0; 113,2; 131,6; 250,4 см<sup>-1</sup>) энергии компонент основного терма Dy<sup>3+</sup>H<sub>15/2</sub> для значений  $2\mu = \pm 3, \pm 1, \pm 3, \pm 3, \pm 1$  соотв. Показано, что расщепление между низшими крамерсовыми дублетами для

ерита  
ми

х. 1974. N 14.

$Dy^{3+}$ , равное  $6,1 \pm 0,5$  при  $T > T_D$ , увеличивается до  $25,0 \pm 0,5$  см $^{-1}$  при 4,2° К. Определены значения  $g$ -фактора зеемановского расщепления для основного терма (I)  $g_{(I)b} = 17,5 \pm 1,0$  ( $g_{(I)b} = 18,8$ ;  $g_{(I)a} = 0,1$ ) и первого возбужденного состояния (II)  $g_{(II)b} = 0,1$ ;  $g_{(II)a} = 19,1$ ; а также  $g_{(a)a} = g_{(a)b} = 3,58 \pm 0,10$  для перехода с I на дублет (a) терма  $^4F_{9/2}$ . При  $T_N = 2,44$ ° К отмечено антиферромагнитное упорядочение кристаллов. Изучены переходы с основного терма  $Eg^{3+}I_{15/2}$  в возбужденные состояния  $^4S_{3/2}$ ,  $^2H_{11/2}$  и  $^4F_{5/2}$ . Отмечено, что ниже  $T_D$  наблюдается расщепление линий  $Eg^{3+}$  вследствие ограниченной области магнитного упорядочения ионов  $Dy^{3+}$  при  $T_N < T < T_D$ . Установлен  $g$ -фактор низшего дублетного уровня основного терма  $g_{(I)b} = 5,8 \pm 0,2$  и дублетного b-уровня  $g_{(b)b} = 0 \pm 0,2$ .

И. В. Мирошниченко

DyAsO<sub>4</sub>

Bp-6030-VIII

1974

(T<sub>tr</sub>)

114343w Spectroscopic investigations on dysprosium arsenate. Wappler, Dieter (Phys. Inst., Univ. Karlsruhe, Karlsruhe, Ger.). *Phys. Condens. Matter* 1974, 17(2), 113-24 (Ger.). DyAsO<sub>4</sub> undergoes a crystallog. phase transition at 11.2°K ( $T_D$ ) which is induced by a cooperative Jahn-Teller effect. As deduced from the optical absorption spectra the distance between the 2 lowest lying Kramers doublets of the Dy<sup>2+</sup> ion is increased from  $6.1 \pm 0.5 \text{ cm}^{-1}$  above  $T_D$  to  $25.0 \pm 0.5 \text{ cm}^{-1}$  at 4.2°K. Below  $T_D$  the splitting factor of the lowest doublet becomes nearly uniaxial with a max. value of  $17.5 \pm 1.0$  along the crystallog. b-axis. At 2.44°K ( $T_N$ ) the crystals order antiferromagnetically. The absorption lines of Er<sup>2+</sup> ions in DyAsO<sub>4</sub> already show a splitting immediately below  $T_D$  which is explained by magnetic short range ordering of the Dy<sup>2+</sup> ions in the temp. range  $T_N < T < T_D$ . William Braker

C.A.1974.80.N20

DyAs

1976

Sugawa K., et al.

Phys. Statist. Solidi B.

1976. 78(1), K7-K9.

(T Neel)

(all CuSb) T

*Художник*

5 Б392. Кристаллическая структура низкотемпера-  
турных модификаций  $TbAsO_4$  и  $DyAsO_4$ . Long F. G.,  
Stager C. V. Low temperature crystal structure of  
 $TbAsO_4$  and  $DyAsO_4$ . «Can. J. Phys.», 1977, 55, № 18,  
1633—1640 (англ.; рез. франц.)

1977

Изучена крист. структура высокот-рных и низко-  
т-рных модификаций  $TbAsO_4$  (I) и  $DyAsO_4$  (II), моно-  
кристаллы к-рых выращены из р-ра в расплаве  
 $Pb_2As_2O_7$ . Эксперим. набор интенсивностей получен на  
автоматич. дифрактометре. Структура высокот-рных I  
и II изучена при 300° К. Подтверждена принадлеж-  
ность к тетрагон. сингонии (структурный тип циркона)  
с параметрами решетки  $a$  7,105, 7,063,  $c$  6,336, 6,304 Å,  
ф. гр.  $I4_1/amd$ . Уточнение проведено МНК в анизотроп-  
ном приближении до  $R=0,054$  и 0,051 соотв. по 526 и  
434 отражениям. Расстояния в тетраэдрах As—O для  
I и II 1,681 и 1,676 Å соотв., Tb—O 2,311—2,431,  
Dy—O 2,309—2,426, O—O соотв. 2,558—3,340, 2,549—  
3,338 Å, углы O—AsO 99,1—114,9 и 99,0—114,9, OLnO·  
63,5—155,6 и 63,4—155,6° С. Структура низкот-рных  
модификаций (I l и II l) уточнена при 6° К (автома-  
тич. дифрактометр, охлаждение образца жидк. Не).  
Кристаллы I l и II l принадлежат к ромбич. сингонии,  
ф. гр. соотв.  $Fddd$  и  $Imma$ , параметры решетки  $a$

*Кристал.  
Структ.*

*Л*

*2.11.5, 1977*

10,120, 7,056,  $b$  9,945, 7,026,  $c$  6,310, 6,297 Å. Векторы решетки для низкот-рных и высокот-рных модификаций связаны отношениями для I $I$   $a_p = \sqrt{2a} + \Delta$ ,  $b_p = -\sqrt{2a} - \Delta$ ,  $c_p = c$ , для II  $b$   $a_p = a + \Delta$ ,  $b_p = a - \Delta$ ,  $c_p = c$ , где  $a_p$ ,  $b_p$ ,  $c_p$  — векторы решетки высокот-рных фаз. Уточнение структур низкот-рных фаз I $I$  и II $I$  выполнено МНК в анизотропном приближении до  $R=0,019$ , 0,055 по 243 и 415 отражениям соотв. Фазовый переход, обусловленный кооперативным эффектом Яна-Теллера, приводит к изменениям структуры. В I наблюдается изменение позиций цепочек из тетраэдров AsO<sub>4</sub>, расстояния As—O 1,677, Tb—O 2,311—2,456, O—O 2,587—3,302 Å, углы OAsO 100,9—114,0, OTbO 63,6—154,5°. Для II установлено, что наряду с изменением относит. положений цепочек из тетраэдров, происходит искажение тетраэдров. Расстояния As—O в тетраэдрах 1,692—1,715, Dy—O 2,255—2,452, O—O 2,584—3,274 Å, углы OAsO 99,5—114,2, ODyO 64,3—155,0°.

М. Б. Варфоломеев

Вычтс О<sub>4</sub>

XVIII - 772

1980

17 Б972. Кристаллографический фазовый переход первого рода в DyAsO<sub>4</sub>. Domann G., Kahle H. G., Kasten A., Schwarzbauer H. J. First order crystallographic phase transition in DyAsO<sub>4</sub>. Proceedings of the International Conference on Magnetism, Munich, 3—7 Sept., 1979. Part 1. «J. Magn. and Magn. Mater.», 1980, 15—18, 37—38 (англ.)

$C_p$ ;  $T_{tr}$

Измерения импульсным методом уд. теплоемкости монокристаллов DyAsO<sub>4</sub> обнаружили, в отличие от порошкообразных образцов, выделение скрытой теплоты при 11,3 К и 2-ой небольшой пик при 11,5 К, связанный, очевидно, с процессом перегруппировки внутренних напряжений. Показатели преломления в области видимого света вдоль осей, a и b также испытывают скачки

Л 1980 № 14

в своих значениях при  $11,3\text{ K}$ . Т. о., доказано наличие фазового перехода 1-го рода, вызванного кооперативным эффектом Яна-Теллера. Решеточный вклад рассчитан для т-ры Дебая  $470\text{ K}$ . Определена зависимость показателей преломления от внешних магнитных полей. Наложение поля вдоль направления искажения сдвигает фазовый переход к более высоким т-рам и уменьшает величину скачка. В крит. точке с магнитной индукцией  $0,40 \pm 0,05\text{ T}$  и т-рой  $12,0 \pm 0,2\text{ K}$  скачок исчезает полностью. Сделан вывод, что теория молек. поля кооперативного эффекта Яна-Теллера, включающего два эффективных электронных уровня, не может предсказать существование фазового перехода 1-го рода, поэтому необходимо создание новой модели. В. А. Ступников

DyAsO<sub>4</sub>

XVIII - 472

1980

8 E813. Кристаллографический фазовый переход первого рода в DyAsO<sub>4</sub>. First order crystallographic phase transition in DyAsO<sub>4</sub>. Domann G., Kahle H. G., Kasten A., Schwarzbauer H. J.— Proceedings of the International Conference on Magnetism, Münich, 3—7 Sept., 1979. Part 1.— «J. Magn. and Magn. Mater.», 1980, 15—18, 37—38 (англ.)

Измерение теплоемкости монокристалла DyAsO<sub>4</sub> четко выявило наличие скрытой теплоты превращения при кооперативном ян-теллеровском структурном переходе при 11,3° К. При этой т-ре скачкообразно изменяются также показатели преломления и искажение решетки. Этот переход — первого рода и причиной к тому являются ангармонич. добавки к ян-теллеровскому взаимодействию.

Н. Н. Кристоффель

ф. 1980 № 8

Dy<sub>2</sub>AsO<sub>4</sub> 1980  
Ismailzade P. N. et al

T<sub>tr</sub>

Ferroelectrics, 1980, 23,  
N 1-2, 35-38



Ce<sub>2</sub>P<sub>2</sub>AsO<sub>4</sub> i<sup>-</sup>

Dy. 95

Lommel 10684 | 1980

Makorozzi A. et al.

(A1f)

J. Less-Common Metals  
1980, 95, 125-132

Dzots

Лесные ежи 12472 1981

Русская яз. Б. Г. и др.

(G)

Сообщ. АН Тадж. ССР,  
1981, 103 (1), 129-131.

DyAsO<sub>4</sub>

1982

Unoki H.

$\gamma$ . Magn. and Magn. Mater.,  
1983, 31-34, Pt 3; Proc. Int.  
Conf. Magn. Kyoto, 6-10 Sept.,  
1982, Pt 3, 1063-1064.

(cfr. DyVO<sub>4</sub>; I)

DyAs(k) DM. 19583 | 1983

Рукашадзе Б.Т., Узарев  
Сергей Д. Н. и др.,

ДГБ;

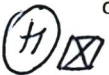
УЗб. Акад. Наук Грузии. ССР,  
1983, 9, №, 48 -

DyAsO<sub>4</sub>

1984

6 E776. Интерпретация измерений диэлектрической проницаемости и параметра порядка в окрестности ян-теллеровских фазовых переходов первого и второго рода в DyAsO<sub>4</sub> и DyVO<sub>4</sub> в рамках теории коррелированного эффективного поля. Interpretation of electric susceptibility and order-parameter measurements near the first- and secondorder Jahn—Teller phase transitions in DyAsO<sub>4</sub> and DyVO<sub>4</sub> using correlated- effective-field theory. Page J. H., Taylor D. R., Smith S. R. P. «J. Phys. C: Solid State Phys.», 1984, 17, № 1, 51—71 (англ.)

Вблизи ян-теллеровских фазовых переходов в DyAsO<sub>4</sub> и DyVO<sub>4</sub> проведены прецизионные измерения параметра порядка и диэлектрической восприимчивости вдоль оси *c*. Поведение обоих соединений значительно отличается от предсказанного на основе простой теории среднего



ф. 1984, 18, № 6.

поля. В  $DyAsO_4$  наблюдается фазовый переход 1-го рода, а в  $DyVO_4$  переход является непрерывным. Эксперим. данные анализируются в рамках модели коррелированного эффективного поля (КЭП), в которой принято простое приближение для зависимости от волн. вектора обменной константы  $I(q)$ , согласующееся с классич. поведением кристаллов в критич. области. Модель КЭП приводит к очень хорошему описанию данных в широком интервале т-р и магн. полей как ниже, так и выше точки перехода. Делается вывод, что отклонения от модели среднего поля обусловлены противоположным влиянием коротко- и дальнодействующих взаимодействий. Модель КЭП объясняет также различный род перехода в исследуемых кристаллах. Большая диэлектрич. аномалия интерпретируется как следствие связи параметра перехода с нечетными модами с  $q=0$ . В  $DyVO_4$  такая антисимметричная (электродипольная) связь на порядок сильнее, чем в  $DyAsO_4$ . Дальнодействующие дипольные взаимодействия в  $DyVO_4$  приводят к непрерывности фазового перехода в этом соединении. Библ. 31

А. Отко

DyAs

1986

' 106: 126897y The As-Dy (arsenic-dysprosium) system. Gschneidner, K. A., Jr.; Calderwood, F. W. (Rare-Earth Inform. Cent., Iowa State Univ., Ames, IA 50011 USA). *Bull. Alloy Phase Diagrams* 1986, 7(3), 277-8 (Eng). Structure and lattice spacing data are available for one compd. formed in this system, DyAs. No information on the phase diagram was found in the literature, but heat of formation data of DyAs were found.

(SfH)

C.A. 1987, 106, N 16.

DyAsSe<sub>3</sub>

1992

) 5 Б3095. Система Dy<sub>2</sub>Se<sub>3</sub>—As<sub>2</sub>Se<sub>3</sub> /Азадалиев Р. А.,  
Алиев О. М., Садыхов Ф. М., Ильясов Т. М., Рустамов П. Г.  
//Ж. неорган. химии.—1992.—37 ,№ 12.—С. 2790—  
2791.—Рус.

Методами физ.-хим. анализа изучены фазовые равновесия и построена диаграмма состояния системы Dy<sub>2</sub>Se<sub>3</sub>—As<sub>2</sub>Se<sub>3</sub>. Установлено образование соед. состава DyAsSe<sub>3</sub>, плавящегося инконгруэнтно при 1000 К. На основе As<sub>2</sub>Se<sub>3</sub> обнаружена область стеклообразования, к-рая доходит до 12 мол. % Dy<sub>2</sub>Se<sub>3</sub>.

(Tm)

X.1993, n5

Dy As

(OM 40704)

2001

Ichimura Shirota and  
Keigo Yamashita et al.  
Phys. Rev. Letters  
2001, N 9, 13, 1939-46.

Phase transitions of links

(La = Pr, Nd, Sm, Eu, Dy  
and Ho) with Mall-type  
structure at high  
pressures.